

Research Paper

Flood Risk Assessment Using a Combination of Cellular Automated and SCS Models In the Northern Slopes of Central Alborz (Case Study: Lavijrood Watershed)

Sadreddin Motevalli*

1- Associate Professor, Department of Geography, Islamic Azad University, Nour Branch.

Received: 2021/12/14

Revised: 2022/02/13

Accepted:2022/02/19

Use your device to scan and read the article online



DOI:

10.30495/jzpm.2022.29573.4027

Keywords:

Flood Risk Assessment, Cellular Automata, SCS, the Northern slopes of Central Alborz, Lavijrood Watershed.

Abstract

Population growth, accumulation of capital and the expansion of urbanization in places prone to danger, lead to the emergence of urban society with high vulnerability to accidents. The increasing development of societies and the complexity of their internal and external relations, the importance of management and planning in reducing disasters and their effects on human settlements is becoming increasingly apparent.

The northern slopes of the Central Alborz, especially the Lavijrood watershed, mainly due to topographic and physiographic conditions, climatic conditions, non-compliance with technical specifications in the construction of roads and technical buildings and encroachment on the river, geology and other factors affecting runoff, have The potential for flood production is at certain times of the year. In this research, we investigated the performance of the cellular automata (CA) and SCS model as a suitable estimation method, and examined the possibility of integrating the method with the ArcGIS application to simulate the flood hazards and the hydrograph flow for the Lavijrood. The runoff height and the flood hazard were obtained through the SCS method. The flood simulation using the SCS method requires the data of land use, hydrologic groups of soils, Digital Elevation Map (DEM), rainfall, and the roughness coefficient of the basin. The raster format of all these layers was prepared with cell sizes of 30×30 m. A large part of the Lavijrood watershed belongs to the hydrological groups C and D, which have a very low permeability. This means that a large volume of rainfalls converts into runoffs. Due to the low permeability and the vicinity to the watershed outlet, the northern half, especially in the northwest of the watershed, has a very high runoff depth and height. Also, the flood risk is high in Lavijrood River route and its surrounding area especially at the downstream. The runoff simulation in this watershed showed that land use, soil, permeability, slope, and the geographical distribution of rainfalls are the most important factors that control runoffs and their movement to downstream locations to produce floods.

Citation: Motevalli, S., Flood Risk Assessment Using a Combination of Cellular Automated and SCS Models the Northern Slopes of Central Alborz (Case Study: Lavijrood Watershed): Journal of Regional Planning, 2022 (45): 261-282.

***Corresponding Author:** Sadreddin Motevalli

Address: Associate Professor, Department of Geography, Islamic Azad University of Nour Branch

Tell: 09111212312

Email: sadr_motevalli@iaunour.ac.ir

Extended Abstract

Introduction

The northern slopes of the Central Alborz, especially the Lavijrood watershed, mainly due to topography and physiography, climatic conditions, non-compliance with technical specifications in the construction of roads and technical buildings and encroachment on the river, geology and other factors affecting runoff, have the potential for flood production at certain times of the year.

Methodology

In this study, the efficiency of cellular automation and SCS models as new methods and the possibility of combining them with GIS programs to simulate flood risk and flow hydrograph for Lavij River were studied. Land use data, soil hydrological groups, DEM, precipitation data and roughness coefficient were used. All layers were prepared in the form of 30 * 30 cell size rasters.

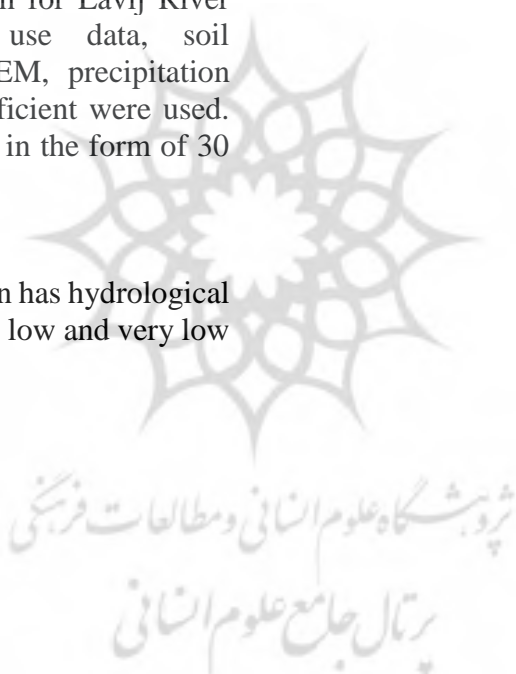
Results and Discussion

A large part of the basin has hydrological groups C and D that have low and very low

permeability; This means that a large amount of rainfall in these areas can turn into runoff. The northern half, especially the northwestern part of the basin, has a high runoff height and depth due to its low permeability and proximity to the basin outlet. Also, the risk of floods along the Lavij River and in the surrounding lands (river floodplain), especially downstream of the river is high.

Conclusion

Flood simulation in Lavijrood basin showed that in addition to land use, soil, permeability and slope, spatial distribution of rainfall is an important factor in runoff accumulation to one side of the downstream basin and flood production.



مقاله پژوهشی

ارزیابی خطر سیلاب با استفاده از تلفیق مدل‌های اتومات سلوی و SCS در دامنه‌های شمالی البرز مرکزی (مطالعه موردی: حوضه آبخیز لاویج رود)

صدرالدین متولی^{*}

۱- دانشیار گروه جغرافیای دانشگاه آزاد اسلامی واحد نور.

چکیده

رشد جمعیت، تجمع سرمایه‌ها و گسترش شهرنشینی در مکان‌های مستعد خطر، منجر به پدید آمدن جامعه شهری با آسیب پذیری بالا در برابر سوانح می‌گردد. توسعه روز افزون جوامع و پیچیده شدن روابط درونی و خارجی آنها، اهمیت پرداختن به مدیریت و برنامه‌ریزی در کاهش بلایا و اثرات آنها بر سکونتگاه‌های انسانی را بیش از پیش نمایان می‌کند. دامنه‌های شمالی البرز مرکزی بویژه حوضه آبخیز لاویج رود عمده‌ای به دلیل وضعیت توپوگرافی و فیزیوگرافی، موقعیت اقلیمی، عدم رعایت مشخصات فنی در احداث راه و ابینه فنی و تجاوز به حریم رودخانه، زمین‌شناسی و دیگر عوامل مؤثر در ایجاد رواناب، دارای پتانسیل تولید سیل در برخی از مواقع سال می‌باشد. در این پژوهش کارایی مدل‌های اتومات سلوی و SCS به منزله روش‌های نوین و ممکن تلفیق آن‌ها با برنامه‌های GIS برای شبیه‌سازی خطر سیلاب و هیدروگراف جریان برای لاویج رود مطالعه شد. از داده‌های کاربری اراضی، گروههای هیدرولوژیک خاک، DEM، داده‌های بارش و ضربی زبری استفاده شد که همه لایه‌ها در قالب رسترهاي با اندازه سلول 30×30 تهیه شدند. بخش زیادی از حوضه دارای گروه هیدرولوژیکی C و D است که نفوذپذیری کم و خیلی کم دارند؛ بدین معنی که حجم زیادی از بارش در این قسمت‌ها می‌تواند تبدیل به رواناب شود. نیمه شمالی بویژه شمال غربی حوضه، به‌دلیل قابلیت نفوذ کم و نیز نزدیکی به خروجی حوضه، دارای ارتفاع و عمق رواناب بسیار زیادی است. هم‌چنان، خطر سیلاب در مسیر رودخانه لاویج و در اراضی اطراف آن (دشت سیلابی رودخانه) بویژه در پایین دست رودخانه بالاست. شبیه‌سازی سیلاب در حوضه لاویج رود نشان داد که افزون بر کاربری اراضی، خاک، نفوذپذیری و شبیه، پراکنش مکانی مقادیر بارش عامل مهمی در تجمع رواناب به یک سمت از جریان پایین دست حوضه و تولید سیلاب است.

تاریخ دریافت: ۱۴۰۰/۰۹/۲۳

تاریخ داوری: ۱۴۰۰/۱۱/۲۴

تاریخ پذیرش: ۱۴۰۰/۱۱/۳۰

از دستگاه خود برای اسکن و خواندن

مقاله به صورت آنلاین استفاده کنید



DOI:

10.30495/jzpm.2022.29573.4027

واژه‌های کلیدی:

ارزیابی خطر سیلاب، اتومات سلوی، SCS، دامنه‌های شمالی البرز مرکزی، حوضه آبخیز لاویج رود.

* نویسنده مسئول: صدرالدین متولی

نشانی: دانشیار گروه جغرافیای دانشگاه آزاد اسلامی واحد نور.

تلفن: ۰۹۱۱۱۲۱۲۳۱۲

پست الکترونیکی: sadr_motevalli@iaunour.ac.ir

مقدمه

رانش زمین، آبگرفتگی معابر و تخریب راههای ارتباطی، منازل و مغازه‌ها و آسیب‌های جانی بویژه در مناطق روستایی شده است. بر اثر بارندگی‌های شدید و مداوم و جاری شدن سیل در حوضه لاویج رود در سال‌های ۱۳۹۴ و ۱۳۹۸، برخی از معابر و راههای ارتباطی، دیواره‌های رودخانه، زمین‌های کشاورزی و واحدهای مسکونی دچار تخریب شده‌اند. تخریب پوشش گیاهی به گونه مستقیم و غیر مستقیم نیز خسارات ناشی از سیلاب را چند برابر کرده است. متأسفانه فعالیت‌های غیر مجاز و بعض‌ماز اشخاص حقیقی و حقوقی در قطع درختان بویژه در قسمتهای بالادست نواحی روستایی لاویج رود و قرار دادن درختان در مسیر رودخانه بعض‌سیب شده تا درختان در زمان بارش زیاد باران، توسط آب رودخانه به مناطق پایین دست حمل گردیده و با بستن دهانه پل‌ها و مجاری باریک و درنتیجه انحراف آب، خسارات جانی و مالی زیادی را در مناطق روستایی لاویج، شهر چمستان و نیز روستاهای جلگه‌ای ایجاد نمایند. افزون بر آثار ملموس و مستقیم سیلاب در سطح حوضه مورد بررسی، هر ساله به‌واسطه وقوع سیلاب‌های بزرگ، فرسایش کناره‌ای قابل ملاحظه‌ای در رودخانه لاویج اتفاق می‌افتد که خود می‌تواند باعث از دسترس خارج شدن بخش قابل توجهی از خاک حاصلخیز سطح حوضه شود. برای مثال می‌توان از زیر بری حاشیه بستر رودخانه در پای دامنه روستای دیزین کلا نام برد که سبب شده تا این روزتا در معرض خطر حرکت‌های توده ای زمین قرار گیرد. با توجه با موارد ذکر شده، شبیه‌سازی خطر سیلاب این حوضه به‌منظور کاهش خسارات ناشی از وقوع سیلاب ضروری می‌کند و مدل اتومات سلوی روشی مناسب برای تخمین رواناب و سیلاب است. با توجه به قابلیت رویکرد اتومات سلوی، می‌توان با داده‌های ورودی ساده همانند مدل ارتفاعی رقومی و دبی رخداد سیلاب و میزان گسترش آن را تخمین زد و میزان ارتفاع آب ناشی از سیلاب را ارائه داد. آگاهی از این مسئله می‌تواند در کاهش اثرات سیل و مدیریت بهینه این پدیده مخرب مؤثر واقع شود. بنابراین، هدف اصلی پژوهش حاضر شبیه‌سازی خطر سیلاب با استفاده از مدل‌های اتومات سلوی و SCS بر پایه GIS و RS در حوضه آبخیز لاویج رود است تا مشخص شود که چه بخش‌هایی از سطح حوضه خطر سیلاب بیشتری داشته و از خسارتهای جانی و مالی ناشی از سیل تا حد امکان کاسته شود. با اجرای این مدل، مناطق پر خطر به لحاظ سیل در گستره حوضه آبخیز لاویج رود مشخص شده و مقدار دبی سیلابی رودخانه در بازه‌های گوناگون آن در طی زمان محاسبه خواهد شد.

پیشینه پژوهش و مبانی نظری

از جمله ویژگی‌های اتومات سلوی این است که فضا و زمان به صورت گستته پیش می‌روند. اتومات همگن است و عمل

سیلاب از جمله پدیده‌های طبیعی است که رخداد آن در طبیعت از قانون مندی‌های خاص خود پیروی می‌کند؛ ولی تشدید وقوع و تکرار آن به فعالیت‌های انسان در طبیعت بستگی دارد. مدیریت سیلاب در قالب پیشگیری نقش موثری در کاهش خسارات ناشی از آن دارد، اما با شرایط موجود حذف اثرات و خطرات آن سخت و پیچیده است. دلایل آن متعدد بوده که از جمله آنها، بی برنامگی، محدودیت‌های مالی، داشت محدود، ضعف در نظارت و اجرا در مناطق است که سبب خسارات جانی و مالی زیادی به مناطق طبیعی و انسان ساخت در اکتشاف ایران بویژه در دامنه‌های شمالی البرز شده است.

یکی از اصول اولیه برای کاهش خطرات سیلاب تعیین رواناب اوج سیلاب است (Motevalli et al, 2021: 43). با توجه به فقدان ایستگاه‌های هیدرومتری در اکثر حوضه‌های آبخیز، توسعه روش‌های تخمین رواناب برای این حوضه‌ها ضروری است (Khaleghi & Malekani, 2016: 590) گوناگونی برای تخمین رواناب در حوضه‌های فاقد آمار وجود دارد؛ یکی از روش‌های نوین اتومات سلوی است؛ این روش در GIS پژوهش‌های مربوط به آب و محیط زیست تلفیق خوبی با پیدا کرده است (Zhan & Huang, 2004: 876; Dewan et al, 2007: 1603; Kopp & Noman, 2008: 37; Abou El-Magd et al, 2010: 82; Haq et al, 2012: 137; Kumar & Mohan, 2014: 26; Elkhrachy, 2015: 262). اتومات سلوی روشی ساده برای بررسی سیستم‌های دینامیکی است و می‌تواند ویژگی‌های طبیعی سیستم را در سطح گوناگون توصیف کند. به بیانی دیگر، رویکرد اتومات سلوی روشی قوی برای توصیف، فهم و شبیه‌سازی رفتار سیستم‌های پیچیده است. در اتومات سلوی دسته‌ای از قوانین ویژه برای نمایش ارتباط بین یک سلو و همسایگانش تعریف می‌شود (Khaleghi & Malekani, 2016: 592).

این مقاله به عنوان یک پژوهش علمی می‌تواند بستری برای معرفی استفاده از تکنیک‌های نوین در مطالعات محیطی و رودخانه‌ای باشد تا با بهره‌گیری از این روش‌ها بتوان به یافته‌های علمی و شناخت قابل اعتمادی از شرایط شبیه‌سازی مکانی سیلاب در حوضه‌های آبخیز دست پیدا کرد. این یافته‌ها می‌تواند به درک چگونگی شکل‌گیری و روند گسترش سیلاب در یک حوضه آبخیز بر اساس پارامترهای هیدرولوژیکی، فیزیوگرافی و کاربری اراضی کمک نماید.

وقوع سیلاب در حوضه آبخیز لاویج رود تاکنون، باعث آسیب رساندن به شبکه آبرسانی، پل‌ها و آب بندان‌ها، اراضی و نهرهای کشاورزی و باغی، شکسته شدن تیرهای برق، ریزش سنگ و

Gibson و همکاران (۲۰۱۶)، در پژوهشی با عنوان دقت و کارایی محاسباتی مدل سازی دو بعدی سیلاب سطح شهر بر پایه اتومات سلوی، از داده‌های LIDAR باوضوح بالا (یک متر یا کمتر) استفاده کردند. نتایج نشان داده است که لوله‌های توزیع آب و فاضلاب در انگلستان با بیش از ۷۰۰,۰۰۰ کیلومتر طول نشان دهنده خطر بزرگ در وقوع سیلاب‌های ناشی از تخلیه فاضلاب یا قطع لوله‌های توزیع می‌باشد.

روش‌های گوناگونی هم برای تخمین رواناب در حوضه‌های فاقد آمار وجود دارد؛ یکی از این روش‌ها SCS است. روش سازمان حفاظت خاک آمریکا (SCS) که به شماره منحنی (CN) معروف است، با در نظر گرفتن ویژگی‌های خاک، وضعیت هیدرولوژیکی زمین و نیز کاربری اراضی و شرایط رطوبت قبلی خاک، مقدار رواناب حاصل از یک بارش را در بخش‌های گوناگون حوضه برآورد می‌کند و نیاز به تعیین شماره منحنی دارد. گروه هیدرولوژیکی خاک، نوع کاربری اراضی، پوشش گیاهی، اندازه گیری‌های حفاظت خاک و وضعیت رطوبت خاک پیشین، خصوصیات اصلی مورد استفاده حوضه آبخیز برای بدست آوردن شماره منحنی رواناب می‌باشند. در زمینه تعیین شماره منحنی و برآورد ارتفاع رواناب یک حوضه آبخیز پژوهش‌های گوناگون Lewis et al, 2000: 49; June et al, 2001: 87; Foodi et al, 2004: 49; Inci et al, 2006: 530; Xiao et al, 2011: 740; Soulis & Valiantzas, 2012: 1003; Saravanan & Manjula, 2015: 910; Vinithra & Yeshodha, 2016: 2323; Satheeshkumar & Venkateswaran, 2017: 3; Hejazi & Mezbani, 2017: 65; Mostafazadeh et al, 2017: 16; Hosseinzadeh et al, 2018: 136 صورت گرفته است ().

مواد و روش‌ها

شبیه‌سازی سیلاب با استفاده از مدل‌های اتومات سلوی و SCS نیاز به داده‌های کاربری اراضی، گروههای هیدرولوژیک خاک، DEM، داده‌های بارش و ضریب زبری حوضه داشت که همه این لایه‌ها در قالب رستر و با اندازه سلول 30×30 متر تهیه شدند. بر اساس روش SCS، ارتفاع رواناب و خطر سیلاب در حوضه آبخیز بدست آمد. شکل یک فرآیند پژوهش را نشان می‌دهد. ذکر این نکته ضروری است که برای برآورد ارتفاع رواناب در مدل SCS از داده‌های پیشینه بارندگی ۲۴ ساعته منطقه مورد مطالعه طی دوره آماری ۳۵ ساله (۱۳۶۲-۱۳۹۶) و همچنین، اطلاعات کاربری اراضی استخراج شده از تصاویر ماهواره‌ای Landsat سال‌های ۱۳۶۷ و ۱۳۸۵ در کنار اطلاعات مربوط به بافت خاک و گروههای هیدرولوژیک آن، گروه رطوبتی خاک، شبیه و پوشش اراضی استفاده شد. در نهایت، بر اساس مدل موج سینماتیک، عمق جریان و بر طبق معادله مانینگ و عمق جریان

به روزرسانی به صورت همگام انجام می‌شود. قوانین بر اساس همسایه‌های هر سلول تعریف می‌شوند و می‌توانند فرم قطعی و احتمالی داشته باشند (Van et al, 2007: 145). فهیمی فر و همکاران (۱۳۸۵) بیان کردند که مزایای اتومات سلوی شامل سرعت، فضای گسسته، محلی بودن و موافق بودن است. از مهم ترین کارهای پژوهشی و کاربردی در زمینه شبیه‌سازی سیلاب با استفاده از مدل اتومات سلوی می‌توان به کار خالقی و ملکانی در سال ۱۳۹۵ با عنوان شبیه‌سازی خطر سیلاب با استفاده از مدل اتومات سلوی بر پایه GIS (مطالعه موردنی: حوضه آبریز چرچ)، اعلمی و همکاران در سال ۱۳۹۴ با عنوان مدل سازی بارش - رواناب با استفاده از مدل اتومات سلوی و ثانی خانی و همکاران در سال ۱۳۹۱ با عنوان شبیه‌سازی رواناب و فرسایش خاک با استفاده از روش اتوماتیک سلوی اشاره کرد.

Aboudagga (۲۰۰۵)، در پژوهشی با عنوان شبیه‌سازی سیلاب ناحیه Littoral - Langon در کشور کانادا با استفاده از مدل اتومات سلوی صورت گرفته است، از مقایسه نتایج این شبیه‌سازی با سایر روش‌های موجود مشخص شد که این روش به میزان ۱۸ درصد نتایج دقیق‌تر و قابل قبول‌تری را نسبت به سایر روش‌ها ارائه می‌دهد.

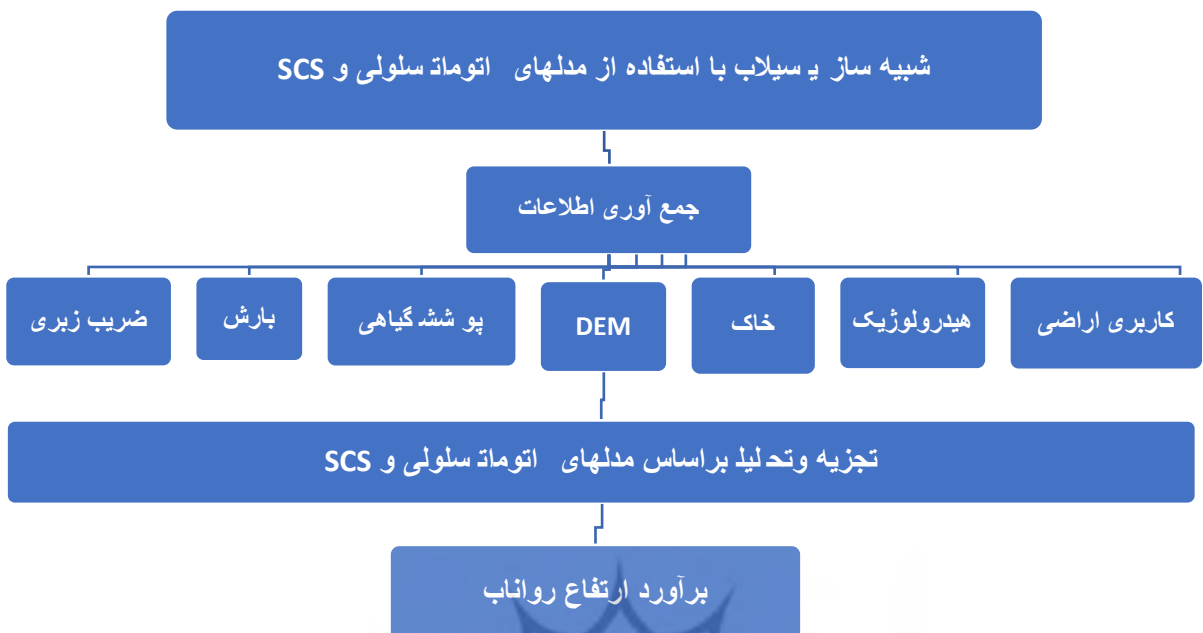
Wu و همکاران (۲۰۰۵)، در پژوهش خود با عنوان مدل مسیریابی یک حوضه آبخیز بر پایه GIS و اتومات سلوی، از ترکیب اصول پایه مدل‌های هیدرولوژیکی و اتومات سلوی، سیستم شبیه‌سازی به نام HydroCA طراحی کرده‌اند.

Douvinet و همکاران (۲۰۰۷)، در پژوهشی با عنوان استفاده از اتومات سلوی در جغرافیای طبیعی، از این مدل برای ارزیابی تأثیرات مورفولوژیکی بر هیدرولوژی حوضه در خالل تمرکز فوق العاده سیلاب‌ها در حوضه پاریس استفاده نموده و بیان کردند که ترکیب توپوگرافی و مساحت رواناب و شبیه می‌تواند توزیع پیچیده تمرکز جریان در زمان و فضا را توضیح دهد.

Douvinet و همکاران (۲۰۱۳)، در پژوهشی دیگر با عنوان اندازه‌گیری تمرکزهای جریان سطحی با استفاده از اتومات سلوی: روشی نوین برای تعیین اثرات احتمالی سیلاب‌های ناگهانی در محیط رسوی، از این روش برای محاسبه خسارات احتمالی ناشی از سیلاب‌های ناگهانی در ۵ خشکرود (مسیل) کوچک در شمال فرانسه (حوضه پاریس) استفاده کردند.

Cai و همکاران (۲۰۱۴)، پژوهشی را با عنوان مدل ریاضی برای مسیریابی سیلاب بر پایه اتومات سلوی انجام داده‌اند. نتایج آن‌ها نشان داد سیلاب در همه جهات به‌گونه همزمان گسترش نمی‌یابد، بلکه نخست به سمت مناطق پایین‌دست جریان می‌یابد و این مناطق را به سرعت می‌پوشاند.

رواناب در سلول‌ها، سرعت جریان محاسبه شد و از روی سرعت جریان، هیدروگراف سیل ترسیم شد.



شکل ۱- فرآیند پژوهش شبیه سازی سیلاب با استفاده از مدل‌های اتومات سلولی و SCS
(منبع: نگارنده، ۱۴۰۰)

بدینمنظور، نخست با استفاده از نقشه بافت خاک اداره منابع طبیعی استان مازندران و نیز بازدیدهای میدانی با بهره‌گیری از جدول سازمان حفاظت خاک آمریکا، نقشه گروههای هیدرولوژیکی خاک (Hydrographic Soil Groups) خواص آبخیز لاویج تعیین می‌شود. همچنین، نقشه کاربری اراضی ASTER و نیز از اداره منابع طبیعی استان مازندران تهیه می‌شود. سپس بر اساس تلفیق لایه HSG و کاربری اراضی در محیط GIS، نخست نقشه CN برای شرایط نرمال (خاک دارای رطوبت متوسط باشد و شیب بیشتر از ۵ درصد نباشد) تهیه می‌شود و براساس روش شرودر و لارسن (۱۹۹۰)، پس از بررسی فراوانی وقوع AMSها (رطوبت پیشین خاک^۱)، وضعیت ماههای سال براساس نوع AMC خشک شناخته می‌شود و با توجه به شیب دار بودن اراضی خواص آبخیز لاویج و به دلیل برقرار نبودن شرایط نرمال، تصحیحات بر روی CN با بهره‌گیری از روابط رایج انجام می‌گیرد. بنابراین، از رابطه 3 برای تبدیل CN نرمال به خشک (CN_I) استفاده می‌شود.

$$CN_I = \frac{CN_{II}}{2.3 - 0.013 \times CN_{II}} \quad (3)$$

روش SCS

بهترین روش برای محاسبه بارش اضافی سلول استفاده از رابطه SCS است؛ بدینمنظور لازم است نقشه CN بدست آید. سازمان حفاظت خاک آمریکا (SCS) در سال ۱۹۷۲ برای تخمین رواناب از روی رگبارها، ویژگی‌های نفوذپذیری خاک، پوشش گیاهی و مدیریت کشت خواصهای آبخیز روشی ارائه کرده است. این سازمان، پس از مطالعات فراوان روى رگبارها (P) و جریان سطحی ناشی از آن‌ها (Q)، رابطه بین این دو را تقریباً خط فرض کرد و به شکل رابطه ۱ ارائه کرد.

$$Q = \frac{(P-0.2S)^2}{(P+0.8S)} \quad (1)$$

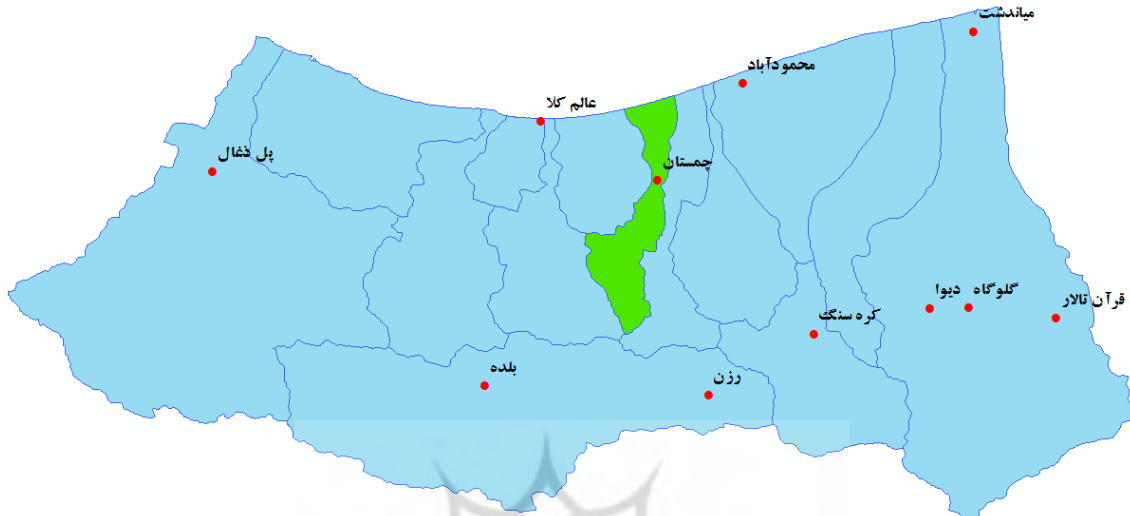
در این رابطه، Q ارتفاع رواناب به میلی‌متر، P بیشینه بارش ۲۴ ساعته به میلی‌متر و S عامل مربوط به نگهداشت آب در خاک بر حسب میلی‌متر است که از روی مشخصات خاک، پوشش گیاهی، شیب و شرایط رطوبت پیشین خاک عدد بی بعدی به نام شماره منحنی (CN) تعیین می‌باشد که با استفاده از آن و به کمک رابطه ۲ می‌توان S را بدست آورد.

$$S = \frac{25400}{CN} - 254 \quad (2)$$

¹. Antecedent Moisture Condition

میان ۱۱ ایستگاه مورد استفاده شناسایی شدند. در ادامه، برای تهیه لایه‌های بیشینه بارندگی ۲۴ ساعته برای هر سال از دوره آماری ۳۵ ساله در سطح منطقه مورد مطالعه، از روش‌های زمین آمار^۱ درون‌یابی در محیط ArcMap استفاده شد.

داده‌های بیشینه بارندگی ۲۴ ساعته ۱۱ ایستگاه باران‌سنجی هم‌جوار با موقعیت حوضه مورد مطالعه از ابتدای ثبت آمار آن‌ها تا سال ۱۳۹۶ از شرکت آب منطقه‌ای استان مازندران گردآوری شده‌اند. شکل ۲ موقعیت این ایستگاه‌ها را نسبت به لاویچ‌رود نشان می‌دهد. پس از بررسی این داده‌ها، رخدادهای بیشینه بارش ۲۴ ساعته طی دوره آماری مشترک ۳۵ ساله (۱۳۶۲ تا ۱۳۹۶) (۱۳۹۶) میاندشت



شکل ۲- موقعیت ایستگاه‌های باران‌سنجی اطراف لاویچ‌رود که داده‌های رخدادهای بیشینه بارندگی ۲۴ ساعته آن‌ها در دوره آماری ۳۵ ساله (۱۳۶۲ تا ۱۳۹۶) با استفاده از روش درون‌یابی کریجینگ با تابع دایره‌ای برای شبیه‌سازی سیلاب در این حوضه استفاده شده است. (منبع: نگارنده، ۱۴۰۰)

بررسی، گروه هیدرولوژیک خاک می‌باشد. به منظور تعیین گروه هیدرولوژیک خاک در حوضه آبخیز لاویچ‌رود، نقشه بافت خاک، از اداره منابع طبیعی استان مازندران اخذ شد. بر اساس بافت خاک، و دو پارامتر نفوذپذیری^۴ (جدول ۲) و آبگذری^۵ (جدول ۳)، ویژگی‌های خاک مشخص و گروه هیدرولوژیک آن تعیین شد.

برای تهیه لایه شماره منحنی نیاز به داده‌های گروه هیدرولوژیک خاک، انواع پوشش اراضی، کاربری اراضی و شرایط رطوبتی اولیه خاک در سطح حوضه آبخیز وجود دارد. در ابتدا، نقشه CN برای شرایط نرمال (خاک دارای رطوبت متوسط بوده و شیب بیشتر از ۵ درصد نباشد)، از تلفیق نقشه‌های گروه هیدرولوژیک خاک (HSG) و کاربری اراضی و به کمک جدول‌های SCS (جدول ۴) تهیه گردید (۱۱).

مقایسه مقادیر RMSE بدست آمده از سه روش درون‌یابی RBD، IDW و Kriging (دایره‌ای، کروی^۶ و گوسین^۷)، نشان می‌دهد که روش کریجینگ با تابع دایره‌ای دارای کمترین خطأ و بیشترین دقیق در درون‌یابی داده‌های بیشینه بارندگی ۲۴ ساعته در این پژوهش است (جدول ۱). ذکر این نکته ضروری می‌نماید که دلیل استفاده از آمار ۳۵ ساله بیشینه بارندگی ۲۴ ساعته ۱۱ ایستگاه نامبرده این است که داده‌های بارندگی از پراکنش مکانی مناسب در سطح منطقه مورد مطالعه برخوردار بوده و تأثیر شرایط توپوگرافی را بر روی میزان بارش دریافتی در بخش‌های گوناگون حوضه آبخیز لاویچ (از مناطق مرتفع و کوهستانی گرفته تا مناطق دشتی و جلگه‌ای) به خوبی منعکس سازد.

مهم‌ترین پارامتر مورد نیاز جهت برآورد رواناب با استفاده از مدل SCS و در ادامه شبیه‌سازی سیلاب در حوضه آبخیز مورد

⁴. Gaussian

⁵. Permeability

⁶. Water flow/ Drainage

¹. Geostatistical methods

². Circular

³. Spherical

جدول ۱- معیارهای آماری بررسی عملکرد و دقت روش‌های زمین‌آمار در درون‌یابی مقادیر بیشینه بارندگی ۲۴ ساعته

روش					آماره
Gaussian	Kriging	RBD	IDW		
Spherical	Circular				
۱/۱	۱/۱	۲/۳	۲/۶	۹	میانگین
۳۲/۸	۳۲/۸	۳۲	۳۳	۳۶/۲	جذر میانگین مربعات
.	.	۰/۱	-	-	میانگین استاندارد
۱/۳	۱/۳	۱	-	-	جذر میانگین مربعات استاندارد
۲۵/۳	۲۴/۴	۳۳/۶	-	-	میانگین خطای استاندارد

منبع: نگارنده، ۱۴۰۰

جدول ۲- میزان نفوذ جریان آب در عمق خاک بر اساس بافت خاک (نفوذپذیری)

عمق نفوذ آب در خاک (اینج/ ساعت)	بافت خاک
۰/۰۵	شن، شن لومی
۰/۱	شن ریز لومی، لوم شنی درشت، بافت تقریباً شنی (گراول)
۰/۱۵	لوم شنی، لوم رسی و شنی، لوم شنی ریز، رس سیلتی، رس شنی، رس
۰/۲	لوم، لوم سیلتی، سیلت، لوم رسی و سیلتی، لوم رسی

منبع: Hosseinzadeh et al, 2018

جدول ۳- تعیین افق سطحی آبگذری خاک با توجه به نوع بافت خاک (آبگذری)

نفوذپذیری	بافت خاک
خیلی آرام	رس سیلتی، رس، رس شنی
آرام	رس، رس شنی، رس سیلتی
آرام متوسط	رس، رس سیلتی یا رس شنی، لوم رسی و سیلتی، لوم رسی
متوسط	لوم سیلتی، لوم، لوم رسی و شنی، لوم رسی و سیلتی
سریع متوسط	لوم شنی درشت تا متوسط، لوم شنی ریز، لوم شنی خیلی متغیر
سریع	شن ریز، شن ریز لومی، بافت ریز لومی
خیلی سریع	شن درشت یا متوسط، بافت تقریباً شنی (گراول)

منبع: Hosseinzadeh et al, 2018

جدول ۴- شماره منحنی گروههای هیدرولوژیک خاک بر اساس ویژگی‌های اراضی

D	C	B	A	خصوصیات پوشش سطح خوبه
۷۹	۷۳	۶۰	۳۶	پوشش جنگلی متوسط
۷۷	۷۰	۵۵	۲۵	پوشش جنگلی خوب
۸۴	۷۹	۶۹	۴۹	مراتع طبیعی با پوشش متوسط
۸۰	۷۴	۶۱	۳۹	مراتع طبیعی با پوشش خوب
۹۸	۹۸	۹۸	۹۸	پشت بام‌ها، پارکینگ‌ها و دیگر جاده‌های آسفالتی
۹۲	۹۰	۸۵	۷۷	مناطق مسکونی با ۶۵ درصد آسفالت
۸۴	۷۹	۶۸	۵۱	مناطق مسکونی با ۲۰ آسفالت
۹۸	۹۸	۹۸	۹۸	خیابان‌ها و جاده‌های آسفالتی
۸۹	۸۷	۸۲	۷۲	جاده‌های خاکی
۹۱	۸۹	۸۵	۷۶	جاده‌های شوسه

منبع: Hosseinzadeh et al, 2018

یا جریان نرمال است. در این روش فرض می‌شود که جملات شتاب و گرادیان عمق جریان در معادله کلی مومنتم در مقابل سایر اجزای معادله قابل چشم‌پوشی هستند؛ بدین ترتیب می‌توان جریان را یکنواخت فرض کرد. عمق جریان را می‌توان از رابطه‌ای که اورتون و میدوز ارائه کرده‌اند، بدست آورد (رابطه ۵).

$$(5) \quad y = (niex/S_0)^{0.6}$$

در این رابطه y عمق جریان رواناب بر حسب متر، i شدت بارش اضافی بر حسب متر بر ثانیه، n ضریب زبری مانینگ، x فاصله هر سلول در طول مسیر جریان از خروجی بر حسب متر و S_0 شیب بدون بعد است.

قوانين انتقال در CA واقع نحوه گسترش پارامتر مورد بررسی را نشان می‌دهد. قوانین انتقال یا تعیین جهت جریان بر اساس فرضیه انتقال آب از یک سلول با بار پتانسیل بزرگ‌تر به سلول مجاور دارای بار پتانسیل کوچک‌تر انجام می‌گیرد. در صورتی که چندین سلول همسایه دارای بار پتانسیل کم‌تر نسبت به سلول مرکزی باشد، آب به سلولی که اختلاف بار بیشتری با سلول مرکزی دارد، جریان می‌یابد. برای سلول‌های همسایه قطری، اختلاف ارتفاع پس از تقسیم بر جذر ۲ با سلول‌های دیگر مقایسه می‌شود. در اینجا قوانین اتومات سلولی همان قوانین فیزیکی شناخته شده در هیدرولوژی است که برای مدل‌سازی رواناب بمنظور تجمعی بارش مازاد از سطح حوضه از روش D8 استفاده می‌شود. یعنی بارش مازاد در جهت شیب حرکت می‌کند و تجمعی در سطح حوضه آبخیز لاویج استفاده می‌شود.

در هر گام زمانی و بعد از تعیین حالت‌ها، توزیع جریان بر اساس قانون انتقال (در جهت بیشترین شیب) صورت می‌گیرد. در این مرحله برای محاسبه زمان پیمایش به عرض سلول‌ها و سرعت نیاز است. زمان پیمایش زمانی است که طول می‌کشد آب از یک نقطه حوضه به نقطه دیگر حوضه طی کند. در واقع، زمان پیمایش جزئی از زمان مرکز است. زمان پیمایش از نسبت طول جریان به سرعت جریان بدست می‌آید. بنابراین، با معلوم شدن عمق جریان در مرحله قبل، با استفاده از رابطه مانینگ، سرعت جریان طبق رابطه ۶ بدست می‌آید. در این رابطه n ضریب مانینگ است و بر اساس جدول ۵ مشخص می‌شود.

روش اتومات سلولی

در اتومات سلولی فضای به صورت یک شبکه تعریف می‌شود که به هر خانه آن، یک سلول گفته می‌شود. شبکه سلول‌ها می‌تواند بعد متغیری داشته و یک، دو و یا سه بعدی باشد. هم‌چنین، اشکال گوناگونی از شبکه وجود دارد که به طبیعت پدیده فیزیکی واپس است؛ شبکه مربعی رایج‌تر از دو نوع دیگر مثلثی و شش‌گوش می‌باشد. در این پژوهش، مدل رقومی ارتفاع منطقه (DEM) و لایه‌های رستری حاصل از همه پارامترهای مؤثر به صورت یک شبکه‌بندی دو بعدی با ابعاد مشخص ۳۰×۳۰ متر، تشکیل دهنده فضای سلولی مدل اتومات سلولی پیشنهادی است.

در CA می‌توان از ساختارهای گوناگونی برای همسایگی استفاده نمود. نوع همسایگی اهمیت بالایی در بروز نمودن حالت یک سلول دارد؛ زیرا تعیین کننده تعداد همسایگان شرکت کننده در قانون انتقال محلی بوده و بر روی شبکه انتقال مابین سلول‌ها تأثیرگذار است. معمول‌ترین آن‌ها همسایگی ون نیومن، مور، اسمنیت و کول می‌باشد. با توجه به طبیعت پیکسلی داده‌های سنجش از دور و دیگر منابع و هم‌چنین، برنامه‌نویسی آسان‌تر، بیش‌تر مدل‌های CA در یک شبکه دو بعدی تشکیل می‌شوند. در این پژوهش نیز از یک اتومات سلولی دو بعدی مربعی شکل با شعاع همسایگی یک و شکل همسایگی مور یا هشت‌تایی استفاده می‌شود. با در نظر گرفتن احتمال پخش و انتقال آب در همه جهات (هر هشت سلول کناری)، شکل همسایگی مور انتخاب می‌شود.

تراز آب در سلول‌ها (H) به عنوان حالت سلول در نظر گرفته شده و از طریق رابطه ۴ محاسبه می‌شود. در این رابطه Z ارتفاع سلول مرکزی است که با توجه به DEM حوضه مشخص می‌شود، H_p ارتفاع ناشی از بارش باران در سلول و H_n ارتفاع آب دریافتی از سلول‌های همسایه است.

$$(4) \quad H = Z + H_p + H_n$$

بدین‌منظور، برای محاسبه رواناب ناشی از بارش در سلول‌ها از مدل موج سینماتیک استفاده می‌شود؛ با استفاده از این مدل می‌توان به شبیه‌سازی پیشروی جریان اقدام کرد. غالباً عرصه‌های پخش قادر شیب جانبی است و فقط دارای شیب طولی است. بنابراین، می‌توان جریان یک بعدی و در دو جهت شیب طولی زمین فرض کرد. جریان یک بعدی با سطح آزاد از معادلات St. Venant پیروی می‌کند و شامل دو معادله بقای جرم و مومنتم است. یکی از شیوه‌های حل این معادلات فرض موج سینماتیک

⁸. Single Flow Direction chosen from 8 possibilities

جدول ۵- مقادیر ضریب زبری مانینگ بر اساس کاربری اراضی و نوع پوشش گیاهی در آبخیز لاویج رود

نوع کاربری / پوشش اراضی	ضریب زبری (مانینگ)	تصویف
باغ	۰/۴	درختان مشمر و باغ
جنگل	۰/۸	جنگل انبوه و نیمه انبوه
مرتع با پوشش خوب	۰/۲۴	مرتع طبیعی و چمن زار
مرتع با پوشش متوسط	۰/۱۳	مرتع طبیعی با تراکم متوسط
مرتع با پوشش ضعیف	۰/۰۸	پوشش گیاهی پراکنده، خاک لخت
مناطق مسکونی	۰/۰۱	مناطق شهری و روستایی / سطوح صاف مانند آسفالت و بتن
زراعت آبی	۰/۰۵	اراضی شخم خورده با زراعت آبی در مناطق کم شیب
زراعت دیم	۰/۰۳	اراضی شخم خورده دیم (پوشش باقیمانده کمتر از ۲۰ درصد)، اراضی آیش (بدون پوشش باقیمانده) در مناطق شیب دار

منبع: نگارنده، ۱۴۰۰

مساحتی معادل ۳۷,۵ کیلومترمربع برابر ۳۳,۱ درصد از کل مساحت حوزه را به خود اختصاص داده است. در حوضه لاویج رود تقریباً ۴۲ درصد مساحت حوضه از سازند شم شک (ژورا سیک) مرکب از شیل، ما سه سنگ و رگه‌های زغالی، ۳۹ درصد از مساحت حوضه لاویج از سازند الیکا (تریاس) شامل تناوی از آهک و دولومیت، مابقی مساحت حوضه از سازندهای رسوبی مانند تیزکوه، نسن و ... تشکیل شده است که لیتوولوژی آن‌ها عمدتاً از سنگ آهک می‌باشد. براساس مطالعات امتداد گسل‌ها از شمال تا جنوب حوضه را می‌توان به سه زون مجزاً بزنون گسله شمال لاویج، زون میانی (گسل لاویج) و زون گسل‌های جنوب لاویج تقسیم کرد (همان منبع، ۱۳۹۲).

میانگین بارش سالانه ایستگاه تنگه لاویج برای سری زمانی ۴۴ ساله (۱۳۵۲ تا ۱۳۹۵) معادل ۸۱۱ میلیمتر برمحا سبه شده است. میانگین دمای حوضه لاویج رود نیز با استفاده از این معادله، 10.0°C درجه سانتیگراد بدست آمد با توجه به اختلاف ارتفاع زیاد حوضه، نوسان درجه حرارت بین نقطه خروجی (با ارتفاع 200 متر) و مرتفع‌ترین قسمت آن (بیش از 3500 متر) بسیار است واقلیم حاکم بر حوضه نیمه مرطوب تا خنک می‌باشد (همان منبع، ۱۳۹۲).

ضریب شکل هورتون حوضه لاویج رود 0.22 محاسبه شده است که با توجه به کم بودن این مقدار، شکل حوضه مورد بررسی کشیده است. ضریب فشردگی گراویلیوس نیز بیشتر از یک ($1/55$) بدست آمده است که نشان از کشیده بودن حوضه دارد. کشیده بودن شکل حوضه آبخیز لاویج رود با ضریب شکل میلر نیز قابل مشاهده است چرا که مقدار این ضریب هر چه کمتر از یک باشد، نشان‌دهنده شکل کشیده است. مقدار نسبت طولی

حوضه آبریز لاویج در دامنه‌های شمالی رشته‌کوه البرز در جنوب شهر چمستان واقع شده است. حوضه آبخیز لاویج رود بین عرض‌های جغرافیایی $۳۶^{\circ} ۳۶' \text{ تا } ۳۰^{\circ} ۲۷'$ شمالی و طول جغرافیایی $۵۲^{\circ} ۵۰' \text{ تا } ۵۱^{\circ} ۵۸'$ شرقی واقع شده است (شکل ۳). این حوضه با مساحتی معادل 116 کیلومتر مربع از غرب به حوضه گلندرود، از شرق به حوضه واژ و از جنوب به حوضه آبخیز هراز منتهی می‌شود. حوضه دارای جهت شمالی- جنوبی می‌باشد و سطح اساس رودخانه‌ی این حوضه دریای خزر است.

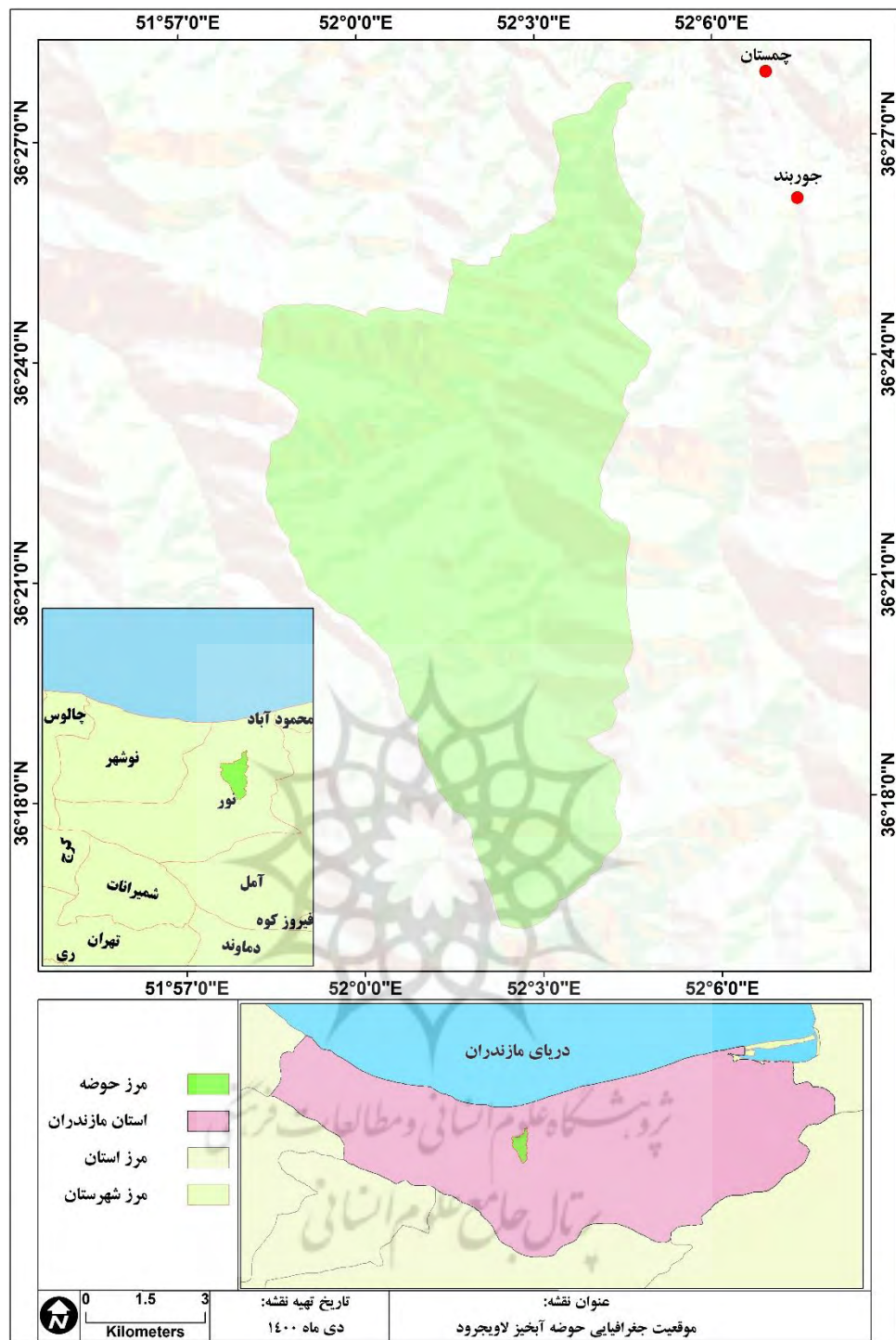
لاویج در حدود بیست کیلومتری جنوب‌غرب شهر چمستان واقع شده و جزئی از شهرستان نور، استان مازندران بشمار می‌رود. حوضه آبخیز لاویج رود، منطقه‌ای نیمه مرتفع و نیمه کوهستانی و بیلاقی و یا به بیانی بهتر و دقیق‌تر و به اصطلاح معروف، میان‌بند است. لاویج از اطراف بهوسیله کوههای زیر احاطه شده است: از شمال ارتفاعات کوه طارم یا نسالو و پیش آمدگی کوه سیلم، از جنوب بهوسیله ارتفاعات پوشیده از جنگل نومه، میله‌بن و نیسم، از شرق ادامه نسالو و از غرب بهوسیله ارتفاعات جنگلی نارمک، اسپی سنگ، کوه سیلم و سوردار. مهم‌ترین اشکال ریخت‌شناسی حوضه آبخیز شامل دره‌های دامنه‌های با شیب و جهات متعدد با غلبه شیب جنوب به شمال، اشکال آهکی، زمین لغزش و غیره می‌شود. در برخی قسمت‌ها به خصوص در قسمت سرآب حوضه، دره‌ها عموماً V شکل بوده و در قسمت‌های میانی دره عموماً U شکل می‌باشند؛ دره‌های تشتی شکل نیز در این حوضه بسیار نادر هستند (متولی و همکاران، ۱۳۹۲). بیشینه ارتفاع محدوده مورد مطالعه 3567 متر می‌باشد که در حد نهایی جنوب حوزه قرار گرفته است. بیشترین میزان شیب حوضه بین ۲۰ تا ۴۰ درصد بوده که

شیب آن کمتر از قسمت سراب و اغلب شاخه‌های فرعی در این قسمت به رودخانه می‌پیونددند و دیگر رودخانه به طور ناگهانی افزایش می‌یابد. در قسمت پایاب رودخانه شیب خود را از دست داده و محلی برای برچای گذاری بار رسوبی است. با توجه به پروفیل طولی آبراهه اصلی حوضه لاویج، شیب خالص آبراهه اصلی این حوضه $8/6$ درصد می‌باشد. زمان تمرکز حوضه براساس روشهای چاو و کربیچ بترتیب $1,56$ و $1,72$ ساعت می‌باشد. از کل مساحت حوضه $87,4$ درصد اراضی جنگلی و $12,6$ درصد اراضی کشاورزی به خود اختصاص داده است (همان منبع، ۱۳۹۲).

شیب نیز کمتر از $0/058$ محسوب شده که این مقدار نیز تأثیری بر کشیده بودن شکل حوضه آبخیز لاویج رود است. رود مهم حوضه آبخیز لاویج رود نام دارد؛ سه رود کوچک‌تر به نام‌های نومه هراز، تیلن‌رود و کرچی‌رود در قسمت داخلی منطقه لاویج جریان دارند که در پای ارتفاعات شمالی و در مدخل تنگه لاویج، رودخانه لاویج رود را بوجود می‌آورند. مهم‌ترین شاخه لاویج رود، نومه هراز است. رودخانه کرچی‌رود از کنار روستاهای بهینک و کرچی عبور می‌کند و رودخانه تیلن‌رود از کنار روستاهای خطیب کلا و وسط روستای رئیس کلا می‌گذرد. رودخانه نومه هراز از میان روستاهای کیاکلا، ملا کلا، سادات محله و ملا محله عبور می‌کند.

برا ساس نیمرخ طولی رودخانه لاویج رود، در قسمت سراب شیب آن تندر و سرعت آب در این قسمت زیاد، در قسمت میانی





شکل ۳- موقعیت جغرافیایی حوضه آبخیز لاجیج روود (منبع: Motevalli et al, 2013)

هیدرولوژیک خاک و زمین‌شناسی حوضه می‌توان بیان کرد که لایه‌های مارن و آهک‌های توده‌ای ضخیم لایه در گروه هیدرولوژیک D، لایه‌های شیل، رس‌سنگ و سنگ آهک‌های دولومیتی ضخیم لایه در گروه هیدرولوژیک C، ماسه‌سنگ، کنگلومرا و شیل‌های کربن‌دار در گروه هیدرولوژیک B و بخش‌هایی از لایه‌های ماسه - سنگی در گروه هیدرولوژیک A جای دارند. در ادامه، بر اساس تلفیق نقشه‌های HSG و کاربری اراضی و به کمک جداول SCS، نخست نقشه CN برای شرایط

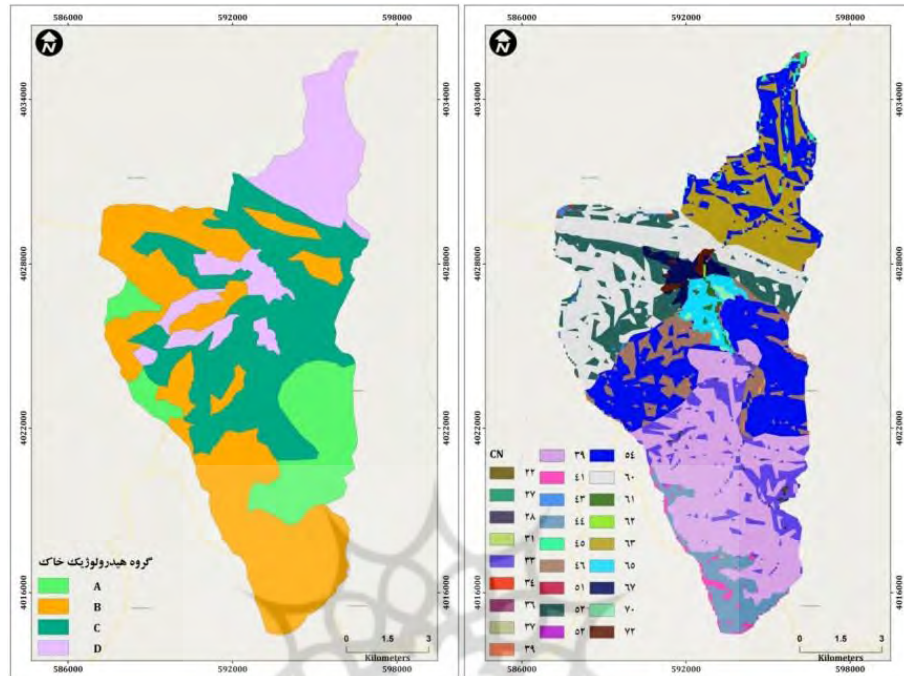
یافته‌های پژوهش

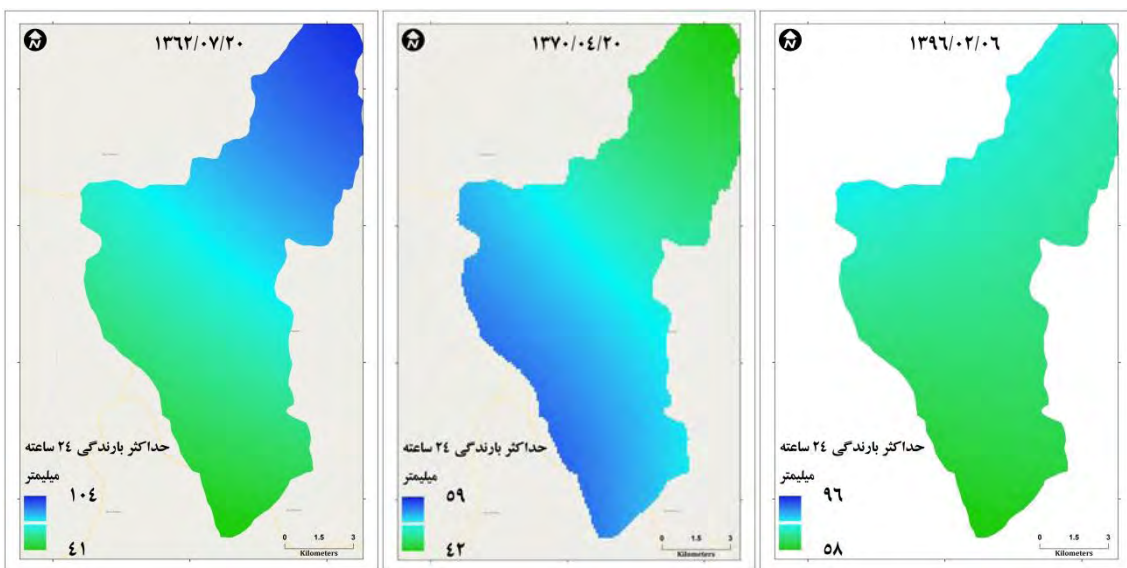
نقشه گروههای هیدرولوژیک خاک حوضه بر اساس لایه خصوصیات بافت و عمق خاک (نفوذپذیری و آبگذری) آماده شد که در شکل ۴ آورده شده است. حوضه مورد بررسی دارای چهار گروه هیدرولوژیکی خاک شامل A, B, C و D می‌باشد که از نظر وسعت و گستردگی، گروه C دارای بیشترین مساحت است که پتانسیل تولید رواناب بالایی دارد. با انطباق نقشه‌های گروه

رطوبت متوسط خاک تهیه گردید. شکل ۵ نقشه شماره منحنی تعديل شده برای حوضه مورد بررسی را نشان می‌دهد.

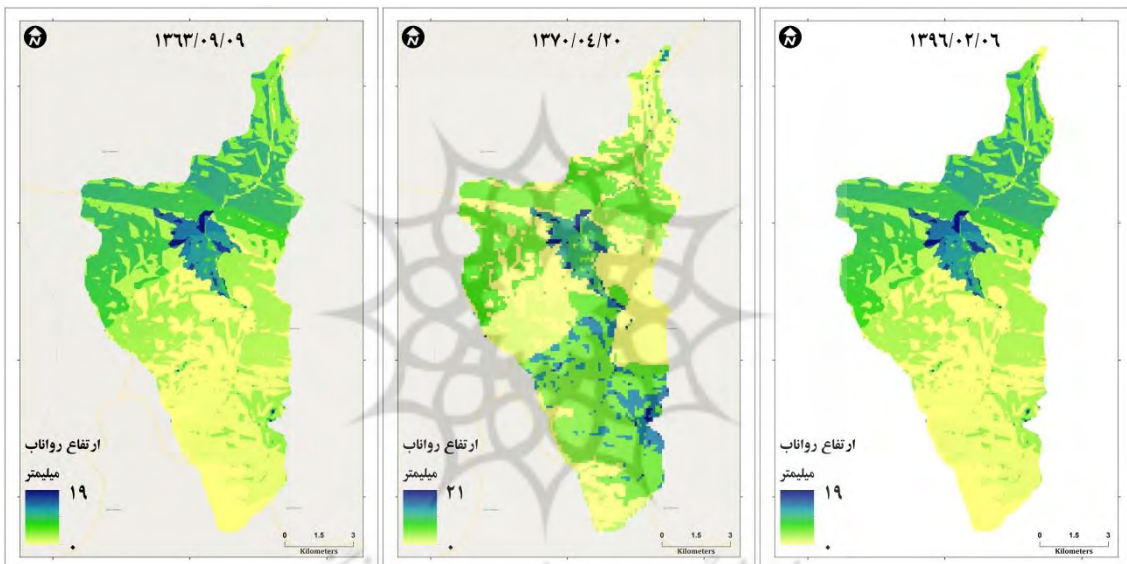
نرمال تهیه شد. با توجه به شب‌دار بودن حوضه آبخیز لاویچ‌رود و بهدلیل برقرار نبودن شرایط نرمال، نخست با دخالت دادن شب، شماره منحنی تعديل شد و سرانجام شماره منحنی برای شرایط

$$v = 1/nR^{2.3}S0^{1.2}=1/nY^{2.3}S0^{1.2}=1/n(n_{ex}/S0^{0.5})^{0.4}S0^{1.2}=(i_{ex})^{0.4}S0^{0.3(0.6)/n} \quad (6)$$





شکل ۶- نمونه‌ای از نقشه‌های درون‌یابی رخدادهای بیشینه بارندگی ۲۴ ساعته در حوضه آبخیز لاویچ رود (منبع: نگارنده، ۱۴۰۰)



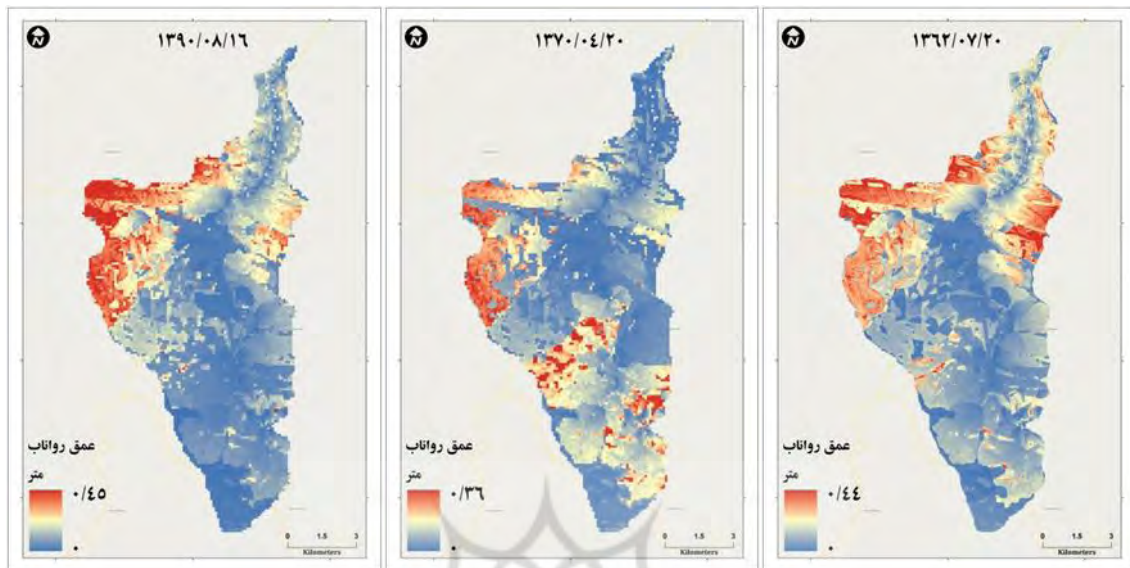
شکل ۷- نمونه‌ای از نقشه‌های پتانسیل تولید رواناب در حوضه آبخیز لاویچ رود (منبع: نگارنده، ۱۴۰۰)

بررسی شده مشاهده کرد. به تبعیت از این تفاوت، بیشینه رواناب هم می‌تواند در سطح حوضه متغیر باشد. پس از آماده شدن لایه‌های رواناب برای ۳۵ رخداد بیشینه بارندگی ۲۴ ساعته در سال‌های ۱۳۶۲ تا ۱۳۹۶ تا در حوضه آبخیز لاویچ رود، شبیه‌سازی سیلاب این حوضه با استفاده از مدل اتومات سلولی نیاز به لایه‌های عمق جریان، سرعت جریان و زمان پیمایش داشت. از روی شدت بارش اضافی در سلول‌ها (ارتفاع رواناب)، شبیب، ضریب زبری مانینگ و طول جریان، لایه عمق جریان رواناب به دست آمد که بر اساس مدل موج سینماتیک است و ارتفاع رواناب ناشی از بارش در سلول‌ها را نشان می‌دهد (شکل ۸). هم‌چنین، برای شبیه‌سازی سیلاب و ترسیم هیدروگراف آن به زمان پیمایش حوضه نیاز است. زمان پیمایش زمانی است که طول می‌کشد آب از یک نقطه تا نقطه دیگری از حوضه را طی

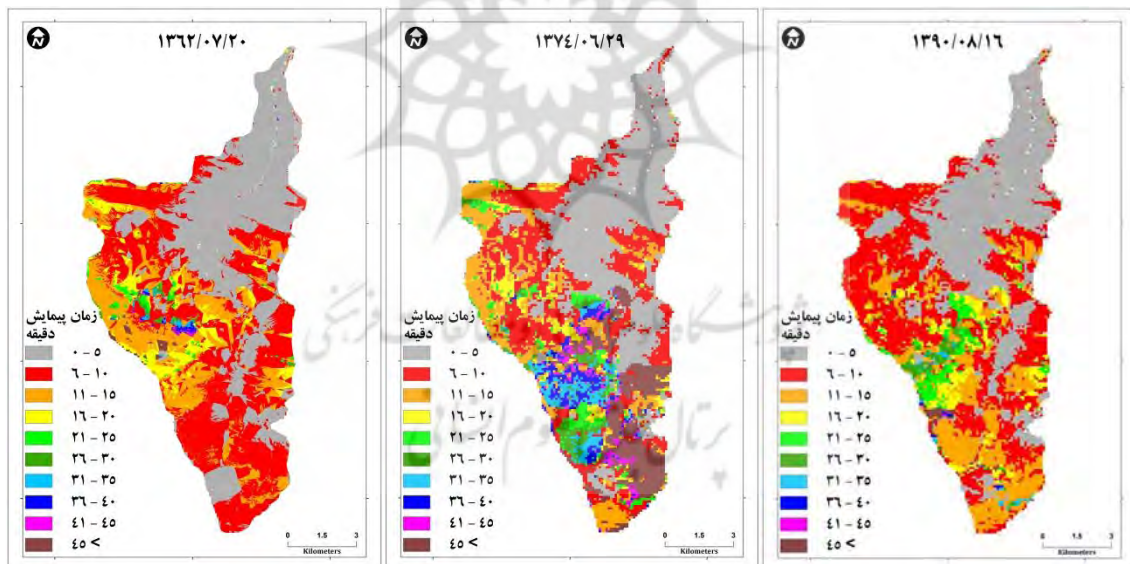
انطباق و همپوشانی لایه‌های رستری بارندگی، شماره منحنی، نگهداشت سطحی و رواناب حوضه نشان می‌دهد در جاهایی که مقدار شماره منحنی زیاد است، نگهداشت سطحی خاک پایین و در نتیجه میزان رواناب بالاست. البته، نکته مهم دیگری که در ارتباط با پتانسیل تولید رواناب در سطح حوضه وجود دارد، این است که در طی یک رخداد بارش معین، میزان بارش دریافتی در قسمت‌های گوناگون حوضه متفاوت است. این تفاوت به صورتی است که ممکن است در یک رخداد بارشی، قسمت‌های جنوبی حوضه مقدار بارش بیشتری نسبت به قسمت‌های شمالی آن دریافت کنند و یا برعکس. بنابراین، اگر به نقشه‌های درون‌یابی رخدادهای بیشینه ۲۴ ساعته توجه شود، می‌توان این تفاوت را در مقایسه بین رخدادهای بارندگی بیشینه ۲۴ ساعته در تاریخ‌های

ArcMap محاسبه شد. سپس نقشه رستری زمان پیمایش برای ۳۵ رخداد بیشینه بارندگی ۲۴ ساعته مورد مطالعه ترسیم شد که نقشه آن‌ها با کلاس‌بندی ۵ دقیقه فواصل زمانی در شکل ۹ آورده شده است.

کند. زمان پیمایش از نسبت طول جریان به سرعت جریان بدست می‌آید (رابطه ۷). بدین‌منظور، از روی مدل ارتفاعی رقومی طول جریان آبراهه‌ها به‌دست آمد و سرعت جریان نیز با استفاده از ضریب زبری مانینگ، شبب و عمق جریان در محیط نرم‌افزاری



شکل ۸- نمونه‌ای از نقشه‌های عمق رواناب در حوضه آبخیز لاویچ رود (منبع: نگارنده، ۱۴۰۰)



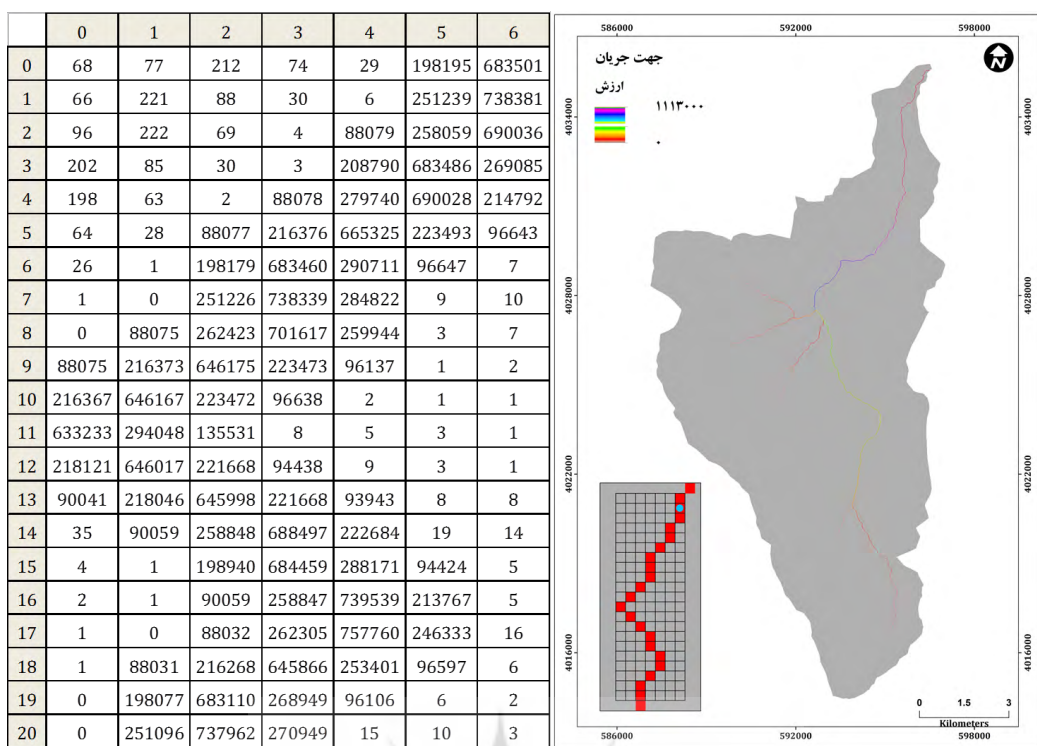
شکل ۹- نمونه‌ای از نقشه‌های زمان پیمایش حوضه آبخیز لاویچ رود (منبع: نگارنده، ۱۴۰۰)

سال‌های ۱۳۶۲ تا ۱۳۹۶ استخراج شده است. برای رسیدن به این مرحله، تعداد ۳۵ نقشه جهت جریان و نقشه رستری رواناب تولید گردید. در نقشه جهت جریان تجمعی هر سلول بیانگر مسیر جریان است که به روش D8 تعیین شد که نمونه‌ای از آن برای اطراف ایستگاه آغوزکتی - تنگه لاویچ (ایستگاه هیدرومتری واقع در خروجی حوضه آبخیز لاویچ رود) در شکل ۱۰ آورده شده است.

$$\text{Travel time} = \frac{L}{3600V} \quad (7)$$

که در این رابطه، Travel Time زمان پیمایش به دقیقه، L لایه طول جریان استخراج شده از مدل رقومی ارتفاع و V سرعت جریان بر حسب متر بر ثانیه است.

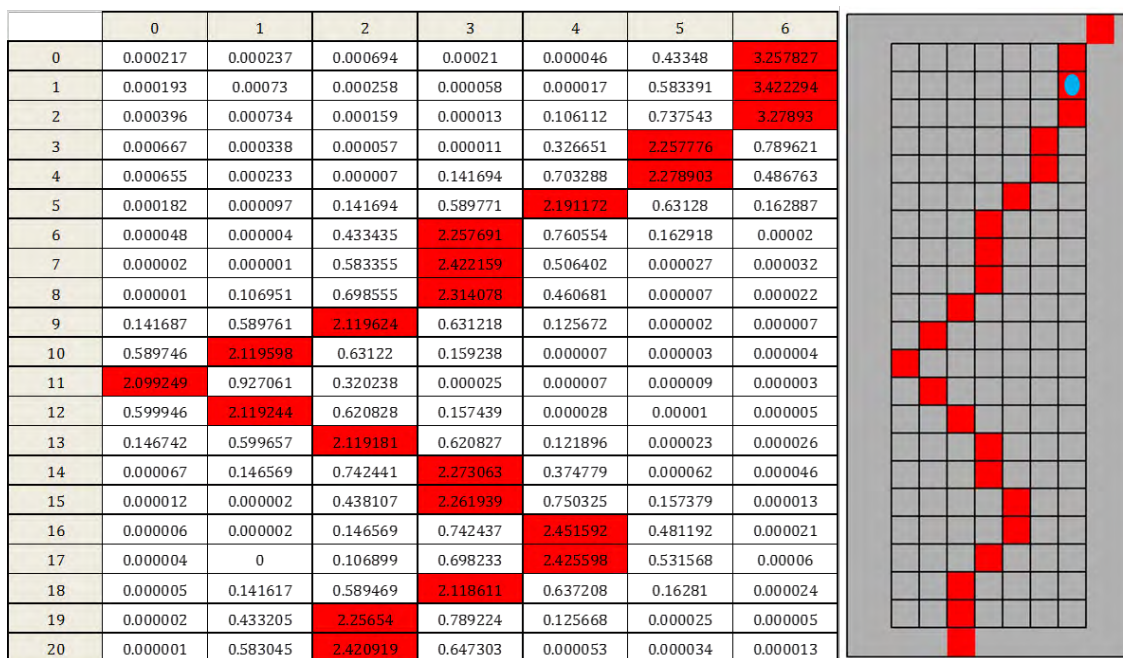
با اجرای مدل اتومات سلولی، دبی متناظر با هر کدام از رخدادهای بیشینه بارش ۲۴ ساعته به صورت سری زمانی برای



شکل ۱۰- نمایش جهت جریان تجمعی حوضه لاویج رود و محدوده اطراف ایستگاه هیدرومتری آغوزکتی (منبع: نگارنده، ۱۴۰۰)

شده توسط رابطه SCS رواناب ناشی از بارش بوده و مقدار دبی پایه در نظر گرفته شده است، بنابراین برای ارزیابی دقت نتایج با داده‌های مشاهداتی لازم است که مقدار دبی پایه ایستگاه آغوزکتی تعیین و به مقادیر دبی سیلابی اضافه گردد. در این مطالعه از روش حداقل محلی^۹ که یک روش ساده و دارای دقت قابل قبول است، برای محاسبه دبی پایه استفاده شد. مشخصات آماری دبی‌های مربوط به ۳۵ رخداد بیشینه بارش ۲۴ ساعته بکار گرفته شده در این پژوهش در جدول ۶ آورده شده است.

شکل ۱۱ مقدار دبی سیلابی محاسبه شده در محدوده اطراف ایستگاه آغوزکتی را برای رخداد بارش بیشینه ۲۴ ساعته تاریخ ۱۳۸۱/۰۶/۱۶ نشان می‌دهد. با دقت در مقادیر این نقشه، مشاهده می‌شود که سلول‌هایی که در مسیر آبراهه قرار نگرفته‌اند رواناب بسیار ناچیزی دارند؛ در حالی که برای سلول‌های واقع در آبراهه، رواناب قابل ملاحظه‌ای دیده می‌شود. مطابق این شکل، مقدار دبی سیلابی برای این رخداد بارندگی در ایستگاه آغوزکتی ۳/۴۲ مترمکعب بر ثانیه است. با توجه به اینکه مقدار رواناب محاسبه



شکل ۱۱- مقدار دبی سیلابی محاسبه شده برای تاریخ ۱۳۸۱/۰۶/۱۶ در محدوده اطراف ایستگاه آغوزکتی

(منبع: نگارنده، ۱۴۰۰)

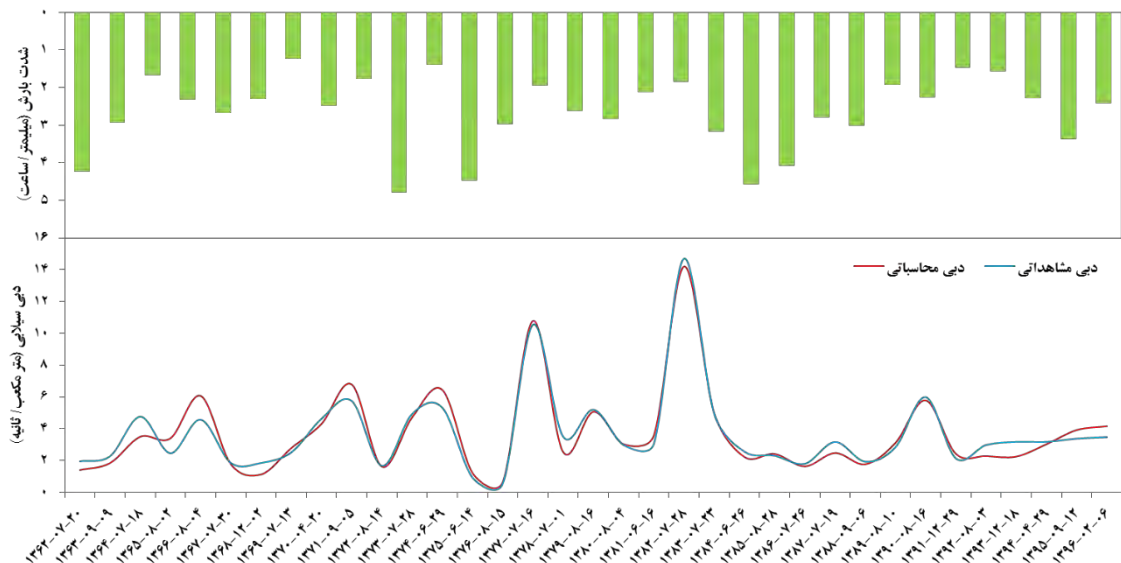
جدول ۶- مشخصات دبی های محاسباتی با اتموات سلولی در محل ایستگاه آغوزکتی لاویج

دبی / آماره	میانگین دبی در یک ساعت	میانگین دبی بارش ۲۴ ساعته	دربی چولگی	حداقل	بیشینه	انحراف معیار	ضریب چولگی
۳/۸	میانگین دبی در یک ساعت	۲/۱	۲/۹	۰/۷	۱۴/۲	۲/۹	۲/۱
۹۰/۹	دبی بیشینه بارش ۲۴ ساعته	۷۰/۴	۳۴۰/۹	۱۵/۵	۳۴۰/۹	۷۰/۴	۲/۱

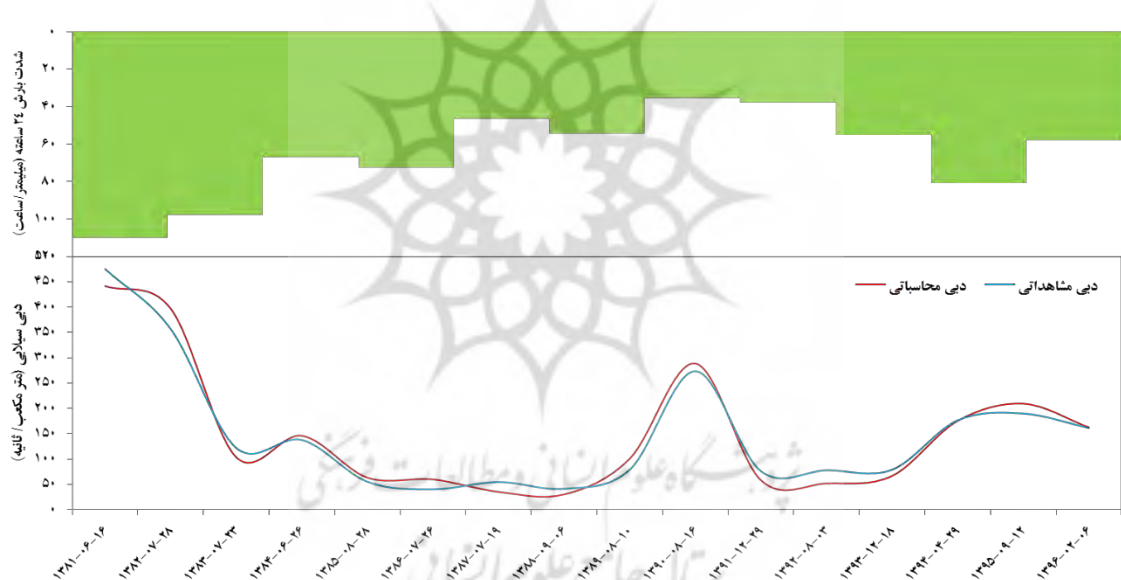
(منبع: نگارنده، ۱۴۰۰)

به صورت میانگین دبی در یک ساعت و دبی بیشینه بارندگی ۲۴ ساعته انجام گرفت که در شکل های ۱۲ و ۱۳ نشان داده شده است. بر اساس این شکل ها، دبی سیلابی محاسبه شده با مدل اتموات سلولی هم برای وضعیت میانگین دبی در یک ساعت و هم برای مجموع دبی سیلابی بیشینه بارش ۲۴ ساعته مطابقت زیادی با هم دارند.

سرانجام، براساس نقشه عمق جریان و زمان پیمایش حوضه، در محیط پایتون سری زمانی رخدادهای بیشینه بارندگی ۲۴ ساعته برای دوره آماری ۱۳۶۲ تا ۱۳۹۶ ترسیم شد. با بررسی آمارهای رگبار و سیلاب اخذ شده از شرکت آب منطقه‌ای استان مازندران، اطلاعات رویدادهای همزمان ثبت شده با این داده‌ها استخراج شدند. مقایسه دبی های سیلابی مشاهداتی و محاسباتی



شکل ۱۲- سری زمانی دبی محاسباتی و مشاهداتی (میانگین دبی در یک ساعت) حوضه آبخیز لاویج رود در محل ایستگاه هیدرومتری آغوزکتی؛ این سری زمانی و هم‌چنین، هایتوگراف قابل مشاهده در بالای عکس، بر اساس داده‌های بیشینه بارندگی ۲۴ ساعته طی سال‌های ۱۳۶۲ تا ۱۳۹۶ ترسیم شده است. (منبع: نگارنده، ۱۴۰۰)



شکل ۱۳- سری زمانی دبی محاسباتی و مشاهداتی (دبی بیشینه بارش ۲۴ ساعته یا دبی کل) حوضه آبخیز لاویج رود در محل ایستگاه هیدرومتری آغوزکتی؛ این سری زمانی و هم‌چنین، هایتوگراف قابل مشاهده در بالای عکس، بر اساس داده‌های بیشینه بارندگی ۲۴ ساعته طی سال‌های ۱۳۸۱ تا ۱۳۹۶ ترسیم شده است. (منبع: نگارنده، ۱۴۰۰)

بحث و نتیجه‌گیری

زیاد دامنه‌های حوضه باعث ایجاد سیلاب می‌شوند. با توجه به سیل خیز بودن حوضه لاویج، بویژه در طی بارش‌های رگباری، هدف اصلی از این مطالعه، نشان دادن امکان استفاده از اتومات سلولی برای شبیه‌سازی سیلاب‌های ناشی از بارش‌های بیشینه ۲۴ ساعته در سال‌های ۱۳۶۲ و ۱۳۹۶ در سطح حوضه بوده است. در این پژوهش کارایی مدل‌های اتومات سلولی و SCS به منزله روشی نوین و امکان تلفیق آن با اپلیکیشن‌های GIS برای

حوضه آبخیز لاویج رود تحت تأثیر شرایط خاص زمین‌شناسی، آب و هوایی، هیدرولوژیک، پوشش گیاهی و ژئومورفو‌لولوژیک به صورت یک سیستم درآمده است. پایین بودن معدل کمینه دما در فصول سرد سال باعث یخ‌نیدن و بالای صفر بودن معدل بیشینه دما در همین فصول باعث ذوب یخ می‌شود. در نتیجه این انقباض و انبساط، خاکدانه‌ها تخریب شده و توسط آبهای جاری حمل می‌شوند و در دوره گرم سال هم بارش‌های رگباری بر روی شبی

ایستگاه آغوز کتی مشاهده گردید که میین آن است که رویکرد CA علیرغم سادگی اش می تواند نتایج واقع گرایانه ای برای یک رویداد طبیعی پیچیده مانند رواناب فراهم نماید. همچنین، در صد خطای مقادیر مشاهداتی و برآورده میانگین دبی در یک ساعت و دبی بیشینه بارندگی ۲۴ ساعته هم به ترتیب ۱۴ و ۱۸/۳ است که دقت مناسب مدل را نشان می دهد.

مقایسه دبی های محاسبه شده از مدل اتمومات سلولی با دبی های مشاهداتی و همچنین، با تعییرات زمانی مقدار بارندگی (که بر روی مقدار رواناب و در نتیجه دبی سیلابی تأثیرگذار است) نشان می دهد که مدل اتمومات سلولی به خوبی توانسته است که سیلاب های ناشی از بارش های بیشینه ۲۴ ساعته را در حوضه آبخیز لاویج رود شبیه سازی کند.

نتایج این پژوهش با نتایج پژوهشگرانی چون Aggagaboudagga (۲۰۰۵)، Wu و همکاران (۲۰۰۵)، Rinaldi و همکاران (۲۰۱۲)، Cai و همکاران (۲۰۱۳)، Podhoranyi و Cirbus (۲۰۱۴)، موسوی و همکاران (۱۳۸۹)، ثانی خانی و همکاران (۱۳۹۱)، اعلمی و همکاران (۱۳۹۴) و خالقی و ملکانی (۱۳۹۵) انطباق دارد که بیان می کند مدل اتمومات سلولی نسبت به روش ها معمول که از محیط ArcGIS استفاده می کنند، از دقت بسیار زیادی برخوردار است. مقایسه نتایج این پژوهش با نتایج پژوهش های نامبرده در بالا مشخص کرده است که استفاده از اتمومات سلولی در کنار GIS، افزون بر افزایش دقت در نتایج، سبب سرعت بخشیدن به تجزیه و تحلیل و محاسبه رواناب می شود.

همچنین، تطبیق نتایج بدست آمده با مقادیر مشاهداتی و شواهد میدانی در سطح حوضه آبخیز لاویج رود، نشان دهنده دقت مطلوب نتایج این مدل در پژوهش این پژوهشگران بوده است.

براساس نتایج حاصله از این پژوهش میتوان اظهار داشت که با استفاده از مدل اتمومات سلولی در حوضه های شبیه محدوده مورد مطالعه، می توان نمودار سری زمانی و یا هیدرو گراف سیل با کیفیت و دقت بالا ترسیم کرد. ازانجایی که در حوضه های فاقد آمار پیش بینی رواناب فاقد دقت بود لذا، با توجه به نتایج این پژوهش و همچوپانی آن با نتایج پژوهش های مشابه ذکر شده می توان بیان کرد که بکارگیری مدل اتمومات سلولی جهت پیش بینی رواناب در حوضه های فاقد آمار نتایج قبل اعتمادی را ایجاد می کند. نتایج پژوهش تاکید دارد که نقشه پهنه بندی خطر سیلاب حاصله از این روش، داده های پایه و مهمی برای مطالعه و اجرای طرح های توسعه و عمرانی در حوضه آبخیز لاویج رود و سایر محدوده های مشابه ایجاد می کند.

شبیه سازی خطر سیلاب و هیدرو گراف جریان برای حوضه آبخیز لاویج رود مطالعه شد. بخش زیادی از حوضه آبخیز لاویج رود دارای گروه هیدرولوژیکی C و D است که نفوذ پذیری کم و خیلی کم دارند؛ بدین معنی که حجم زیادی از بارش در این قسمت ها می تواند تبدیل به رواناب شود؛ اگرچه پوشش جنگلی سطح حوضه این ضریب تبدیل را به میزان قابل توجهی کاهش داده است. با توجه به نقشه های ارتفاع رواناب این دوره ۳۵ ساله، نیمه شمالی به ویژه شمال غربی حوضه، به دلیل قابلیت نفوذ کم و نیز نزدیکی به خروجی حوضه، دارای ارتفاع و عمق رواناب بسیار زیادی است. بررسی نقشه های زمان پیمایش نشان می دهد که در بیشتر خداده های بارشی، زیر حوضه هایی که در نیمه شمالی یا نزدیک به خروجی حوضه قرار گرفته اند، زمان پیمایش کمتری دارند تا جریان تجمعی به خروجی حوضه برسد. مضافت بر این امر، جهت جریان تجمعی نیز سبب می شود تا رواناب های تولید شده در بخش های جنوبی تر و بالادرست حوضه به سمت پایین درست سرازیر شده و تجمع جریان در بخش های نزدیک به خروجی حوضه باشد. با توجه به این موارد، زیر حوضه هایی که در پایین درست جریان حوضه آبخیز لاویج رود قرار دارند، پتانسیل سیل خیزی بیشتری نسبت به حوضه های بالادرست دارند.

همچنین، خطر سیلاب در مسیر رودخانه لاویج و در اراضی اطراف آن بویژه در پایین درست جریان بالا است. شبیه سازی سیلاب در حوضه لاویج رود نشان داد که افزون بر کاربری اراضی، خاک، نفوذ پذیری و شبیب، پراکنش مکانی مقدار بارش عاملی مهم در تجمع رواناب به یک سمت از جریان پایین درست حوضه و تولید سیلاب است. از این رو، اجرای کارهای مدیریتی در آبراهه های پایین درست و نواحی مجاور آن ضروری به نظر می رسد.

از سوی دیگر، با توجه به ضریب زبری حوضه لاویج (از ۰/۰۱ تا ۰/۰۸) و فاصله هر سلول در طول مسیر جریان از خروجی حوضه بر حسب متر و شبیب، نقشه عمق رواناب در هر سلول بدست آمد؛ از این طریق می توان در حوضه لاویج با توجه به کم بودن ایستگاه های اندازه گیری، عمق رواناب در هر نقطه از حوضه را بدست آورد. سرانجام، با توجه به عمق رواناب در سلول ها و با توجه به شبیب و طول جریان و زمان طی مسیر آب تا خروجی، نمودار سری زمانی دبی سیلابی (میانگین دبی در یک ساعت و دبی بیشینه بارندگی ۲۴ ساعته یا دبی کل) برای خداده های بارشی سال های ۱۳۹۶ تا ۱۳۹۷ شد. نتایج به دست آمده از این سری های زمانی گویای این مطلب است که دبی مشاهداتی و دبی محاسباتی مطابقت زیادی با هم دارند و ارزیابی مدل نیز نشان دهنده دقت مناسب آن است. بین مقادیر مشاهداتی و برآورده میانگین دبی در یک ساعت و دبی بیشینه بارندگی ۲۴ ساعته به ترتیب ۰/۹۸ و ۰/۹۵ در صد همبستگی در

پیشنهادها

در انتهای این پژوهش، پیشنهادهایی ارائه می‌شود که می‌تواند هم به افزایش کیفیت این پژوهش و پژوهش‌های آتی کمک کرده و هم در نهایت به رویکردی جامع برای کاهش خسارت‌های ناشی از تولید رواناب و سیلاب در حوضه آبخیز لاوجرد منجر شود.

- از آنجایی که محدودیت و شرایط خاصی برای استفاده از روش‌های اتومات سلوی و SCS وجود ندارد، لذا در شبیه‌سازی و تخمین فرآیندهای پیچیده طبیعی قابل استفاده می‌باشد و می‌توان مشابه با پژوهش انجام شده با تغییر در قوانین آن جهت پهنه‌بندی سیلاب، تخمین رسوب و سایر پارامترهای هیدرولوژیکی و زئومورفولوژیکی بکار برد، ولی با استناد به نهایت سعی و دقت را در تعیین و تهیه نیازهای اطلاعاتی ورودی صرف کرد.
- یکی از مهم‌ترین پارامترهای برآورد و شبیه‌سازی سیلاب، تعیین مقدار شماره منحنی بخش‌های گوناگون حوضه برمنای گروه هیدرولوژیک خاک و

وضعیت رطوبت پیشین آن است. با توجه به این که وضعیت رطوبت پیشین خاک تأثیر بسیار زیادی در شماره منحنی و شبیه‌سازی مقادیر دبی سیلابی دارد، در این پژوهش سعی شد تا برای همه رخدادهای بارش، وضعیت رطوبت پیشین خاک یکسان در نظر گرفته نشود. افزایش دقت در این مورد مهم، نیاز به داشتن سری زمانی کامل از داده‌های رگبار و سیلاب ایستگاه‌های هیدرومتری دارد که در پژوهش حاضر داده‌های ایستگاه اندازه‌گیری آغازکنی بسیار مفید و کافی بودند. پیشنهاد می‌گردد در پژوهش‌های مشابه آینده، حتماً به این نکته مهم توجه گردد.

در بخش پهنه‌بندی سیلاب در مسیر آبراهه‌ها با استفاده از مدل اتومات سلوی که در قالب جهت جریان تجمی آن را ارائه می‌دهد، می‌توان محدوده گسترش سیلاب را برای بارش‌های بیشینه ۲۴ ساعته در دوره بازگشت‌های گوناگون با استفاده از این مدل برآورد کرده و نتایج آن را نیز با مدل‌هایی همچون HEC-RAS مقایسه کرد.

References

1. Abou El-Magd, I., Hermas, E., & El Bastawesy, M., (2010). GIS-modeling of the spatial variability of flash flood hazard in Abu Dabbab catchment, Red Sea Region, Egypt, the Egyptian Journal of Remote Sensing and Space Sciences, Vol. 13, pp. 81-88.
2. Aboudagga, N. (2005). Simulations by cellular automata of the floods in littoral lagoon areas, www.isn-oldenburg.de/projects/earselabSTRACTS2005/AB_S-Aboudagga-Nader.html.
3. Aelami, M.T., Malekani, L., & Ghorbani, M.A., (2015). Precipitation - Runoff modeling in Lighvan basin using cellular automata model. Quantitative Geomorphological Researches, 3(4): 60-73.
4. Cirbus, J., & Podhoranyi, M. (2013). Cellular Automata for the Flow Simulations on the Earth Surface, Optimization Computation Process. Applied Mathematics & Information Sciences, v. 7(6), p. 2149-2158.
5. Dewan, A.M., Islam, M.M., Kumamoto, T., & Nishigaki, M., (2007). Evaluating flood hazard for land-use planning in Greater Dhaka of Bangladesh using remote sensing and GIS techniques, Water Resources Manage, Vol. 21, pp. 1601-1612.
6. Elkhrachy, I., (2015). Flash flood hazard mapping using satellite images and GIS tools: a case study of Najran City, Kingdom of Saudi Arabia (KSA), The Egyptian Journal of Remote Sensing and Space Sciences, Vol. 18, pp. 261-278.
7. Fahimifar, A., Bahri, M.A., & Bakhshayesh Eghbali, N., (2006). Analysis of the Landslide moving and sliding process based on cellular automata model. The 25th Gathering of Geosciences, Geological Survey of Iran, Tehran.
8. Foodi, G.M., Ghoneim E.M., & Arnell, W.N., (2004). Predicting Location Sensitive to Flash Flooding in Arid Environment, Journal of Hydrology, Vol. 292, pp. 48-58
9. Haq, M., Akhtar, M., Muhammad, S., Paras, S., & Rahmatullah, J., (2012). Techniques of Remote Sensing and GIS for flood monitoring and damage assessment: A case study of Sindh province, Pakistan, the Egyptian Journal of Remote Sensing and Space Sciences, Vol. 15, pp. 135-141.
10. Hejazi, A., & Mezbani, M., (2017). Estimation of maximum runoff height and discharge using curve number method (case study: Sarab-E DarehShahr watershed), Hydrogeomorphology, Vol. 5, pp. 63-81.
11. Hjelmfelt, A.T., & Mockus, V., (2004). Estimation of Direct Runoff from Storm Rainfall, Part 630 Hydrology National

- Engineering Handbooks, Chapter 10, United States Department of Agriculture, Natural Resources Conservation Service, 235p.
- 12.Hosseinzadeh, M.M., Nosrati, K., & Imeni, S., (2018). Detection of curve number and estimation of runoff potential in Hesarak watershed, Journal of Applied Geoscience Research, Vol. 18(51), pp. 133-150.
 - 13.Inci, T.Y., Akgül, S., Dengiz, O., & Aküzüm, T., (2006). Estimation of flood discharge for small watershed using SCS curves number and geographic Information System, River basin flood management journal, pp. 527-538.
 - 14.June, S., Yuan, Y., & Jing, Z., (2001). The effect of landuse/cover change on surface Runoff in Shenzheh Region, china, Institute of Resoucess ScienceBeigining normal university, 100875, Beijing.
 - 15.Khaleghi, S., & Malekani, L., (2016). Flood risk simulation using cellular automata model based on GIS (case study: Chercher watershed), Journal of Natural Geography Studies, Vol. 48(4), pp. 589-605.
 - 16.Kopp, S., & Noman, N. (2008). ArcGIS Spatial Analyst - Hydrologic Modeling, ESRI User Conference Technical Workshop, http://www.scdhec.gov/gis/presentations/ESRI_Conference_08/tws/workshops/tw_37.pdf
 - 17.Kumar RAI, P., & Mohan, K., (2014). Remote Sensing data & GIS for flood risk zonation mapping in Varanasi District, India, Forum geografic, Studii și cercetări de geografie și protecția mediului, Vol. 13, pp. 25-33.
 - 18.Lewis, D., Singer, M.J., & Kate, K.W., (2000), Applicability of SCS curve number method for a California Woodlands Watershed, Journal of Soil and Water Conservation, Second Quarter, pp. 48-55.
 - 19.Mostafazadeh, R., Mirzai, Sh., & Nadiri, P., (2017). Determination of the curve number from rainfall and runoff events and its changes with rainfall components in a forest watershed, Journal of water and soil sciences (Agriculture and Natural Resources Sciences and Technologies), Vol. 14, pp. 15-28.
 20. Motevali. S. Hosseinzadeh, M.M., & Esmaili. R. (2013). Formation mechanism of debris flows in Roodbarak sub-basin, Mazandaran,Iran, Journal of life science ,vol 10(1s), pp8-20
 - 21.Motevali. S. hosseinzadeh, M.M., & Esmaili. R. (2013). Relationship between Labbalbi discharge and geomorphic units in mountain rivers: A case study of Lavij river in the northern slope of central Alborz, Journal of Researches in Earth Science, vol 14, pp.17-33
 - 22.Rinaldi, P.R., Dalponte, D.D., Vénere, M.J., & Clausse, A. (2012). Graph-based cellular automata for simulation of surface flows in large plains. Asian Journal of Applied Science, v. 5, p. 224-231.
 - 23.Sanikhani, H., Khorasani, A., & Dinpajhooh, Y., (2012). Runoff and soil erosion model using cellular automata model. Iranian Water Research Journal, 6(11): 123-133.
 - 24.Saravanan, S., & Manjula, R., (2015). Geomorphology based semi-distributed approach for modeling rainfall-runoff modeling using GIS, Aquatic Processes, Vol. 4, pp. 908-916.
 - 25.Satheeshkumar, S., Venkateswaran, S., & Kannan, R., (2017). Rainfall–runoff estimation using SCS–CN and GIS approach in the Pappiredipatti watershed of the Vaniyar sub basin, South India, Modeling Earth Systems and Environment, Vol. 3(24), pp. 1- 8.
 - 26.Schroeder, S.A., & Larsen, J.K., (1990). Antecedent moisture conditions for North Dakota runoff predictions North Dakota, Farm Research, Vol. 48(0097, 5338), pp. 8-11.
 - 27.Soulis, K.X., & Valiantzas, J.D., (2012). SCS-CN parameter determination using rainfall-runoff data in heterogeneous watershed-the two-CN system approach, Hydrology Earth System Science, Vol. 16, pp. 1001-1015.
 - 28.Van, T.P.D., Carling, Paul, A., Coulthard, Tom, J., & Atkinson Peter, M. (2007). Cellular automata approach for flood forecasting in a bifurcation river system, PUBLS. INST. GEOPHYS. POL. ACAD. SC., v. E-7 (401), 256 pages.
 - 29.Vinithra, R., & Yeshodha, L., (2016). Rainfall–runoff modelling using SCS–CN method: a case study of Krishnagiri District, Tamilnadu, International Journal of Science Research, Vol. 5(3), pp. 2319–7064.
 - 30.Xiao, B., Wang, Q.H., Fan, J., Han, F.P., & Dai, Q.H., (2011). Application of the SCSCN model to runoff estimation in a small watershed with high spatial heterogeneity, Pedosphere, Vol. 21(6), pp. 738-749.
 - 31.Zhan, X., & Huang, M.L. (2004). ArcCN-Runoff: an ArcGIS tool for generating curve number and runoff maps, Environmental Modeling & Software, v. 19, p. 875-879.

